

تأثیر روش‌های سنتز تلقیح تر و سل - ژل و حضور هیدروکربن‌های رقابتی بر اکسایش دی‌بنزوتیوفن در حضور نانوکاتالیست تیتانیا - سیلیکا

فاطمه خادمیان، امین بازیاری*

دانشکده مهندسی شیمی، نفت و گاز، دانشگاه علم و صنعت ایران، تهران، ایران

سمیه علیجانی

گروه پژوهشی محیط زیست، پژوهشگاه نیرو، تهران، ایران

چکیده: فرآیند گوگردزدایی اکسایشی به کمک کاتالیست‌های هتروژن به عنوان یک روش مکمل نویده بخش برای فرآیند گوگردزدایی هیدروژنی از سوخت‌های هیدروکربنی مایع جهت حذف ترکیبات گوگردی مقاوم آنها به شمار می‌رود. در این پژوهش کاتالیست تیتانیا - سیلیکا با بارگذاری ۱۰ درصد وزنی تیتانیا به عنوان فاز فعال، با دوروش ساخت کاتالیست‌ها یعنی سل - ژل و تلقیح تر سنتز شده و عملکرد آنها در فرآیند گوگردزدایی اکسایشی دی‌بنزوتیوفن مورد بررسی و مقایسه قرار گرفتند. گوگردزدایی اکسایشی در دمای پایین 50°C و فشار اتمسفریک و نسبت مولی O/S = ۵ و مقدار کاتالیست مصرفی $0.03\text{ g}\text{r}\text{m}$ در ۳ گرم سوخت است. به منظور شناسایی بهتر ویژگی‌های فیزیکی - شیمیایی کاتالیست‌ها و یافتن رابطه ساختار با عملکرد آنها از آنالیزهای تعیین مشخصات مانند جذب و دفع نیتروژن، تبدیل فوریه مادون قرمز، فلورسانس پرتو ایکس پرتو ایکس بهره گرفته شد. با مقایسه‌ی عملکرد نمونه‌های کاتالیستی مشخص شد که میزان تبدیل دی‌بنزوتیوفن در حضور کاتالیست تهیه شده به روشن سل - ژل بیشتر بوده به گونه‌ای که قادر بود در مدت زمان کوتاه ۳۰ دقیقه پس از شروع واکنش به تبدیل ۱۰۰ درصد دی‌بنزوتیوفن دست یابد. در ادامه تأثیر حضور ترکیبات رقابت کننده نیتروژن دار (ایندول و کوئینولین) و اولفنینی (سیکلوهگرن) بر روی فرآیند گوگردزدایی اکسایشی دی‌بنزوتیوفن با کاتالیست بهینه مورد ارزیابی قرار گرفت. بیشترین و کمترین تأثیر منفی به ترتیب برای سیکلوهگزن و کوئینولین مشاهده شد.

واژه‌های کلیدی: گوگردزدایی اکسایشی؛ تلقیح؛ سل - ژل؛ دی‌بنزوتیوفن؛ تیتانیا - سیلیکا.

KEYWORDS: Oxidative desulfurization; Impregnation; Sol-gel; Dibenzothiophene; Titania-silica.

مقدمه

سوخت‌های فسیلی در دهه‌های آتی همچنان به عنوان مهم‌ترین منبع تأمین انرژی مورد نیاز بشر به شمار می‌رond. ولی وجود ترکیبات گوگردی و همچنین محیط زیست به شمار می‌رود. سوختن ترکیبات گوگردی

+E-mail: abazyari@iust.ac.ir

* عهده‌دار مکاتبات

در پژوهشی که توسط بازیاری و همکاران [۶] انجام شد، عملکرد کاتالیست تیتانیا - سیلیکای سنتز شده به روش سل - ژل برای گوگرددزدایی از سوخت مدلی شامل نرمال ایزواکتان و ترکیب گوگردی مقاوم دی‌بنزوتیوفن (S ۵۰۰ ppmw) مورد مطالعه قرار گرفت. ارزیابی عملکرد کاتالیست در دمای 80°C و در حضور اکسیده ترشیری بوتیل هیدروپراکسید صورت گرفت. آن‌ها بارگذاری‌های متفاوتی از تیتانیا را بررسی نمودند و دریافتند که کاتالیست حاوی 50 درصد وزنی تیتانیا بیشترین میزان گوگرددزدایی را بدست می‌دهد. دلیل بهتر بودن عملکرد این کاتالیست به اثر همزمان پراکندگی و بارگذاری مناسب تیتانیا در این کاتالیست که منجر به تشکیل بیشترین تعداد سایت‌های اسیدی می‌شود، بیان گردیده است. همچنین تیجه‌ها نشان داد که ماده تهیه شده هم به عنوان کاتالیست و به طور همزمان به عنوان جاذب در فرایند گوگرددزدایی عمل می‌نماید.

به علاوه در پژوهش دیگری که توسط لورنا و همکاران [۱۱] انجام پذیرفت، نشان داده شد که برای کاتالیست تیتانیوم بر پایه SBA-16، توزیع مناسب فاز فعال تیتانیا روی پایه در عملکرد کاتالیست برای حذف گوگرد با روش گوگرددزدایی اکسایشی بسیار کلیدی بوده و اینکه پایه به تنها برای منجر به حذف گوگرد ناچیزی می‌شود. در کنار روش سل - ژل، روش تلقیح به عنوان مرسم‌ترین روش ساخت در شرکت‌های تولید کننده کاتالیست‌های صنعتی پذیرفته شده است. با این وجود، بررسی مطالعات اخیر حاکی از آن است که کاتالیست‌های بر مبنای تیتانیای تهیه شده به روش تلقیح تاکنون برای گوگرددزدایی اکسایشی مورد مطالعه قرار نگرفته‌اند که مستلزم بررسی بیشتر است.

بنابراین هدف اصلی در پژوهه حاضر تهیه کاتالیست تیتانیا - سیلیکا به دو روش سل - ژل و تلقیح تر با میزان بارگذاری حداً کش 10٪ وزنی اکسید تیتانیا و بررسی فاز فعال تیتانیا و همچنین مقایسه تأثیر روش سنتز بر عملکرد کاتالیست در فرایند گوگرددزدایی اکسایشی است. یافته‌های این پژوهه می‌تواند مسیر را برای طراحی و ساخت کاتالیست‌های فعال بر مبنای حداقل میزان بارگذاری فاز فعال را هموار سازد.

بخش تجربی مواد آزمایشگاهی

تمامی مواد شیمیایی به استثنای سیلیکا که از شرکت آلدربیخ خریداری شده بود، از شرکت مرک تهیه و بدون هیچ‌گونه خالص‌سازی بیشتر مورد استفاده قرار گرفته‌است. جدول ۱ نام مواد شیمیایی و پیش ماده‌ها، درجه خلوص و همچنین فرمول شیمیایی آنها را ارائه می‌نماید.

موجود در این فراوردهای نفتی باعث تولید دی‌اسید گوگرد می‌شود. ترکیب بخار آب موجود در اتمسفر و دی‌اسید گوگرد یا اکسیدهای نیتروژن سبب تشکیل اسید سولفوریک و اسید نیتریک می‌شود که موجب باران اسیدی می‌شوند که علاوه بر آلودگی شدید هوای زمین، زمینه‌ساز بروز بسیاری از بیماری‌های ریوی مانند آسم، آمفیزیم و غیره می‌گردد. علاوه بر این وجود ترکیبات گوگردی در فرآوردهای نفتی موجب مسمومیت کاتالیست‌ها در صنایع پایین‌دستی و همچنین خوردگی در قسمت‌های داخلی موتور و سایل نقلیه نیز می‌شود. به همین منظور سازمان‌های حفاظت از محیط زیست در سرتاسر دنیا، در حال افزایش محدودیت‌های مربوط به میزان گوگرد موجود در سوخت‌های گوناگون می‌باشند و طبق قوانین زیست‌محیطی تمام کشورها ملزم به استفاده از سوخت‌هایی با مقادیر پایین گوگرد هستند [۵-۱]. به عنوان مثال، براساس استانداردهای سازمان حفاظت از محیط زیست ایالات متحده امریکا (EPA)، غلظت گوگرد در سوخت‌های دیزل و بنزین می‌باشد به ترتیب کمتر از $15\text{ و }30\text{ ppmw}$ باشد [۶]. شایع‌ترین فرایند صنعتی برای حذف گوگرد از سوخت‌های هیدروکربنی مایع، گوگرددزدایی تحت هیدروژن (HDS) است که با استفاده از هیدروژن در دما و فشار بالا انجام می‌شود. با این وجود عملکرد این فرایند در حذف گوگرد از ترکیبات گوگردی مقاوم مانند بنزوتیوفن (BT)، دی‌بنزوتیوفن (DBT) و مشتقان آکلیل‌دار آنها به دلیل نیاز به شرایط عملیاتی شدید (دما و فشار بسیار بالا) و بالطبع صرف هزینه‌ی زیاد، ضعیف گزارش شده است. از سوی دیگر فن‌آوری‌های نوین گوگرددزدایی مانند گوگرددزدایی اکسایشی (ODS)، گوگرددزدایی جذبی (ADS)، گوگرددزدایی استخراجی (EDS) و گوگرددزدایی زیستی (BDS) نیز طی سالیان اخیر بسیار مورد توجه قرار گرفته‌اند [۷, ۸]. در این میان روش گوگرددزدایی اکسایشی (ODS) به کمک کاتالیست‌های هتروژن به عنوان مکمل مناسبی برای روش گوگرددزدایی هیدروژنی مطرح گردیده است. در این روش ترکیباتی که به سختی گوگرددزدایی می‌شوند را می‌توان تحت شرایط عملیاتی بسیار ملایم‌تری (دما کمتر از 100°C و فشار اتمسفری) گوگرددزدایی نمود.

تاکنون پژوهش‌های زیادی در زمینه کاربرد کاتالیست‌های اکسید فلزات واسطه مانند تنگستن، مولبیدن، وانادیوم و تیتانیوم نشانده شده بر پایه‌هایی مانند سیلیکا، آلومینا، زئولیت یا سایر مواد مزو حفره برای فرایند گوگرددزدایی اکسایشی انجام پذیرفته است [۸]. همچنین استفاده از اکسید تیتانیوم به عنوان فاز فعال در تهیه‌ی کاتالیست در سال‌های اخیر مورد توجه حقیقی قرار گرفته است [۹, ۱۰].

مشخصات دستگاه‌ها

طیف FT-IR نمونه‌های کاتالیستی با استفاده از دستگاه طیفسنج شرکت Perkin Elmer بدست آمد. بدین منظور از مخلوط نمونه و پودر KBr فرسی تهیه و در محدوده عدد موج $4000\text{--}500\text{ cm}^{-1}$ و با دقت 2 cm^{-1} مورد آنالیز قرار گرفت. ویژگی‌های بافتی کاتالیست‌های تیتانیا سیلیکای تهیه شده مانند سطح ویژه (BET)، حجم و قطر حفره‌ها به دو روش تلکیح تر و سل - ژل با آنالیز جذب و دفع نیتروژن به کمک دستگاه Belsorp mini به مدت ۳ ساعت در دمای 120°C گازدایی شدند. همچنین برای تعیین درصد عناصر موجود در کاتالیست‌های سنتز شده آنالیز XRF با دستگاه Philips انجام شد. جهت تعیین ساختار کریستالی و نوع فازهای تشکیل شده اکسیدهای فلزی موجود در کاتالیست، آنالیز XRD توسط دستگاه پراش پرتو ایکس ساخت شرکت Dron-8 با استفاده از فلز مس به عنوان منبع تولید اشعه ایکس، استفاده شده است.

روش انجام فرآیند گوگردزدایی اکسایشی

همچنین برای انجام فرآیند گوگردزدایی اکسایشی، از انحلال ترکیب گوگردی دی‌بنزوتیوفن در حلال نرمال دودکان سوخت مدل را تهیه نموده و از ترشیری بوتیل هیدروپروکسید به عنوان اکسنده بهره گرفته شد.

جهت انجام فرآیند گوگردزدایی اکسایشی از سوخت مدلی حاوی دی‌بنزوتیوفن (500 ppmw S) در نرمال دودکان، استفاده شد. به این منظور ۳ گرم از سوخت مدل در یک راکتور ناپیوسته شیشه‌ای دو دهانه به حجم 25 میلی لیتر در تماس با $0/0^\circ\text{C}$ گرم کاتالیست و مقدار معین اکسیدکننده ($\text{O/S}=5$) تحت دمای 50°C یا 80°C و دور همزن 700 rpm قرار گرفت. گرچه نسبت استوکیومتری اکسنده به گوگرد ۲ به $1\text{ می باشد ولی جهت کاهش محدودیت‌های انتقال جرم، جبران هدرافت اکسنده در اثر تجزیه حرارتی و همچنین اطمینان از تکمیل فرآیند گوگردزدایی میزان بیشتری از اکسنده استفاده شد. به منظور جلوگیری از تبخیر احتمالی حلال یا سایر ترکیبات فرار مخلوط واکنش، از یک چگالنده که بر روی راکتور نصب می‌شد، بهره گرفته شد. نمونه‌گیری از مخلوط واکنش در زمان‌های $1, 2, 5, 10, 20$ و 30 دقیقه از شروع واکنش از طریق مجرای نمونه‌گیری انجام شد. نمونه‌های جمع‌آوری شده با حجم $1/15\text{ میلی لیتر}$ درون یوال‌های مخروطی پلاستیکی در بسته نگهداری و پس از سانتریفیوژ به دستگاه کروماتوگرافی گازی مجهز به آشکارساز نورسنجی شعله پالسی (PFID) تزریق شدند.$

جدول ۱- مشخصات مواد شیمیایی مورد استفاده

نام ماده	خلوص(%)	فرمول شیمیایی
تررا ان بوتیل اورتو-تیتانات	۹۸≥	$\text{Ti}(\text{C}_4\text{H}_{10}\text{O})_4$
تررا اتیل اورتو-سیلیکات	۹۸≥	$\text{Si}(\text{C}_2\text{H}_5\text{O})_4$
سیلیکا	۹۹/۹≥	SiO_2
اتانول خشک	۹۹/۸≥	$\text{C}_2\text{H}_5\text{OH}$
نیتریک اسید	۶۹	HNO_3
پلی اتیلن گلایکول ($\text{Mw}=4000\text{ g/mol}$)	-	$\text{HO}(\text{C}_2\text{H}_4\text{O})_n\text{H}$
دی بنزوتیوفن	۹۸≥	$\text{C}_{12}\text{H}_8\text{S}$
نرمال دودکان	۹۹≥	$\text{CH}_3(\text{CH}_2)_{10}\text{CH}_3$
ترشیری بوتیل هیدروپروکسید	۷۰	$\text{C}_4\text{H}_{10}\text{O}_2$

سنتز کاتالیست تیتانیا - سیلیکا

کاتالیست‌های تیتانیا - سیلیکا با بارگذاری $10\text{ درصد وزنی تیتانیا}$ با دو روش سل - ژل و تلکیح تر تهیه شدند. در روش سل - ژل ترکیبی از محلول اتانول، تتراتیل اورتو-سیلیکات، آب دی‌بنزه و اسید نیتریک به مدت $1\text{ ساعت در دمای محیط توسط همزن مکانیکی همزدهش و متعاقبا محلولی از تررا ان بوتیل اورتو تیتانات و اتانول قطره قطره به محلول قبل اضافه گردید. نسبت مولی مواد در محلول نهایی به صورت ذیل انتخاب گردید:$

$$\text{TEOS: TBOT: ETOH: HNO}_3 = 1:1:3:1:28:0/26$$

سپس پلی اتیلن گلایکول -4000 به محلول فوق اضافه شد به گونه‌ای که حین فرایند همزدن، ظرف واکنش درون حمام بین قرار داشت. در ادامه $1\text{ ژل تشکیل شده به منظور طی مرحله پرسازی به مدت } 1\text{ روز در دمای } 40^\circ\text{C}$ و سپس به مدت $7\text{ روز در دمای } 50^\circ\text{ درون آون قرار گرفت. در انتهای نمونه به مدت } 2\text{ ساعت در دمای } 60^\circ\text{ تکلیس گردید. در روش تلکیح تر ابتدا محلول اتانول و پیش ماده‌ی تیتانیا (تررا ان بوتیل اورتو-تیتانات) با نسبت وزنی $1:5$ تهیه و سپس مقدار مطلوب پایه سیلیکای آذریج به آن اضافه شد. سپس سوسپانسیون حاصل به مدت $2\text{ ساعت همزده شد و مراحل خشک کردن و تکلیس مانند قبل انجام پذیرفت.}$$

کاتالیست‌های تهیه شده با روش‌های سل - ژل و تلکیح تر به ترتیب TS10-imp و TS10-imp نام‌گذاری شدند و انتخاب این مقادیر برای بارگذاری تیتانیا بر اساس پژوهش‌های انجام گرفته است که هرچقدر میزان بارگذاری تیتانیا افزایش پیدا کند میزان عملکرد کاتالیست بهبود پیدا می‌کند و بر اساس بالاترین مقدار حذف گوگرد و همچنین مقدار استفاده‌ی بهینه از تیتانیوم مقدار $10\text{ درصد وزنی برای استفاده انتخاب گردید.}$

- ۲- نتیجه‌های آنالیز جذب و دفع نیتروژن کاتالیست‌های تیتانیا سیلیکا تهیه شده به دو روش سل-ژل و تلقیح تر

XRF (%)		قطر حفره (nm)	سطح ویژه (m^2/g)	حجم حفره‌ها (cm^3/g)	کاتالیست	شماره
Si	Ti					
۷۹	۹	۱/۲	۶۴۰	۰/۳	TS10-Sol-gel	۱
۷۴	۷	۳/۵۳	۱۳۰/۸۳	۰/۳	TS10-imp	۲

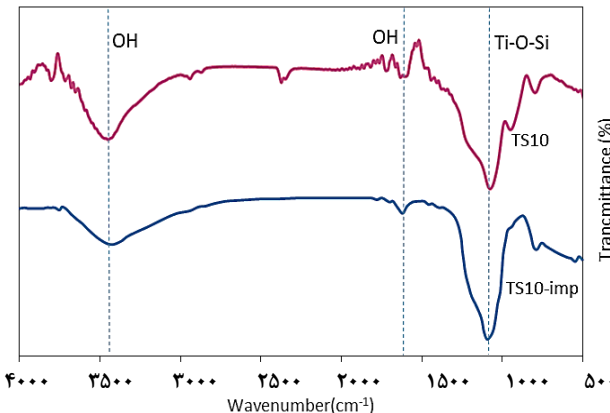
همان طور که مشاهده می‌شود، پیوندهای موجود در طیف دو نمونه تا حد زیادی به یکدیگر نزدیک است و دو پیکی که در 1162 cm^{-1} و 1298 cm^{-1} برای کاتالیست پس از انجام فرآیند گوگردزدایی مشاهده می‌شود، به ترتیب مربوط به پیوند کششی متقارن و نامتقارن SO_2 در مولکول دی‌بنزوتیوفن سولفون است و این مسئله نشان‌دهنده آن است که فرآیند اکسایش ترکیب گوگردی به درستی انجام شده است [۶]. جذب دی‌بنزوتیوفن سولفون بر روی سطح کاتالیست می‌تواند سبب تجمع این ترکیبات روی سطح کاتالیست شده و از دسترسی مناسب ترکیبات گوگردی اکسید نشده به سایت‌های فعال کاتالیست ممانع نماید که همین مسئله ممکن است عملکرد کاتالیست را تحت تأثیر قرار دهد [۶].

آنالیز جذب و دفع نیتروژن

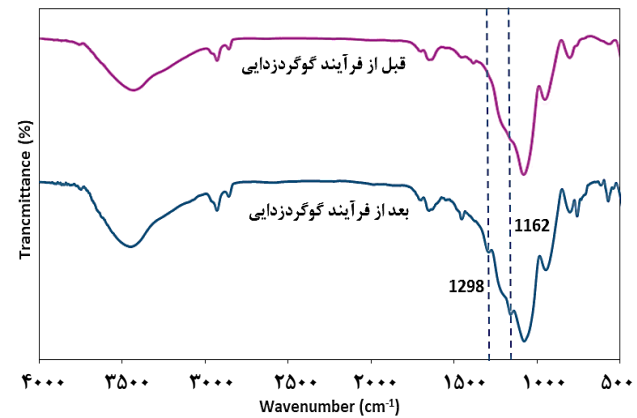
نتیجه‌های سطح ویژه، حجم حفره‌ها، قطر حفره‌ها و آنالیز XRF کاتالیست‌ها در جدول ۲ لیست شده است.

همان گونه که مشاهده می‌شود، اندازه حفره‌های کاتالیست‌های سنتز شده به اندازه کافی بزرگ است تا اجازه نفوذ مولکول‌های دی‌بنزوتیوفن با قطر بحرانی 8 \AA را به درون منفذ کاتالیست، جایی که اکثر سایت‌های فعال برای گوگردزدایی اکسایشی درآنجا واقع شده‌اند، را بدهد [۱۵, ۱۶]. گرچه حفره‌های کاتالیست تهیه شده با روش تلقیح از قطر منفذ بزرگتری برخوردار است. از سوی دیگر کاتالیست تهیه شده به روش سل-ژل از سطح ویژه بسیار بالاتری برخوردار است. هم‌دهمای جذب و اجذب هر دو نمونه در شکل‌های ۳ و ۴ به تصویر کشیده شده است. کاتالیست سنتز شده به روش سل-ژل طبق دسته‌بندی IUPAC دارای هم‌دمای نوع I می‌باشد که نشان‌دهنده وجود میکروحفره‌ها در این کاتالیست است.

برای کاتالیست سنتز شده به روش تلقیح تر، وجود حلقه پسماند در هم‌دهمای جذب و اجذب نشان دهنده وجود مزوحفره‌ها در ساختار کاتالیست است. هم‌دمای این نمونه از نوع IV و حلقه پسماند آن از ترکیبی از انواع H_1 و H_2 است. به علاوه توزیع اندازه حفره‌ها عمدهاً در محدوده زیر 10 نانومتر است.



شکل ۱- طیف FTIR نمونه کاتالیست‌های تیتانیا - سیلیکا تهیه شده به دو روش سل-ژل و تلقیح تر

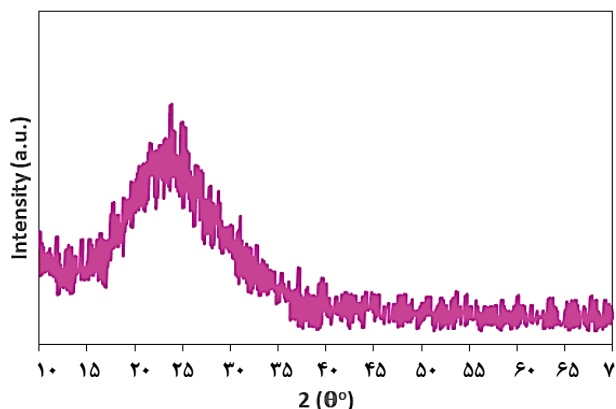


شکل ۲- مقایسه پیک سولفون جذب شده روی سطح کاتالیست تهیه شده به روش سل-ژل قبل و بعد از گوگردزدایی

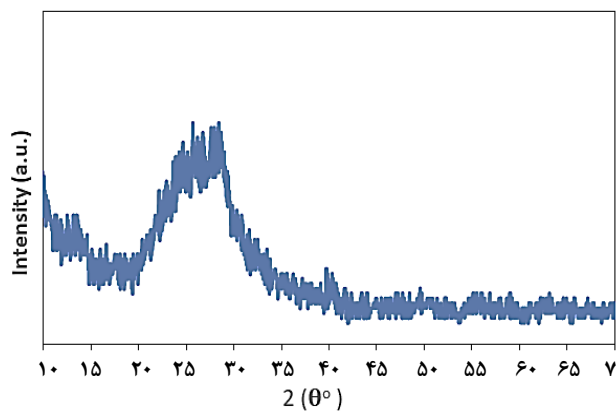
نتیجه‌ها و بحث

آنالیز طیفسنجی فروسرخ (FT-IR)

نتیجه‌های طیفسنجی مادون قرمز نمونه‌های کاتالیستی سنتز شده به روش سل-ژل و تلقیح تر در شکل ۱ نشان داده است. بر اساس مطالعات انجام شده، پیک‌های مربوط به کششی متقارن $\text{Si}-\text{O}-\text{Si}$ ، $\text{Si}-\text{O}-\text{Ti}$ $1080-1105\text{ cm}^{-1}$ مربوط به ارتعاش نامتقارن $\text{Si}-\text{O}-\text{Si}$ ، $940-960\text{ cm}^{-1}$ مربوط به ارتعاش کششی Ti^{4+} ، $\text{Si}-\text{O}-\text{Ti}$ ، پیک 1162 cm^{-1} مربوط به ارتعاش کششی $\text{Ti}-\text{O}-\text{Ti}$ ، پیک 1298 cm^{-1} به ارتعاش خمشی گروه‌های OH نسبت داده شده است [۶, ۱۲]. ارتعاش کششی $\text{Si}-\text{O}-\text{Ti}$ مربوط به پیوند Ti^{4+} تراهدرال در چارچوب سیلیکا می‌باشد که سایت موردنیاز برای انجام فرآیند گوگردزدایی اکسایشی را فراهم می‌کند [۱۳]. همچنین طیف FTIR کاتالیست بهینه قبل و بعد از انجام فرآیند گوگردزدایی اکسایشی در شکل ۲ ارائه شده است.



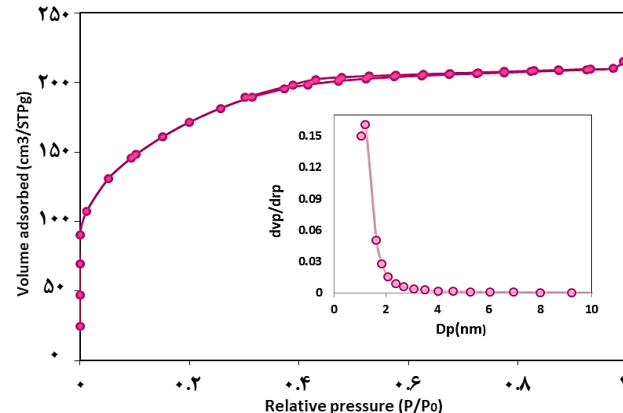
شکل ۵- طیف پراش پرتو ایکس نمونه تیتانیا - سیلیکا(سل - ژل)



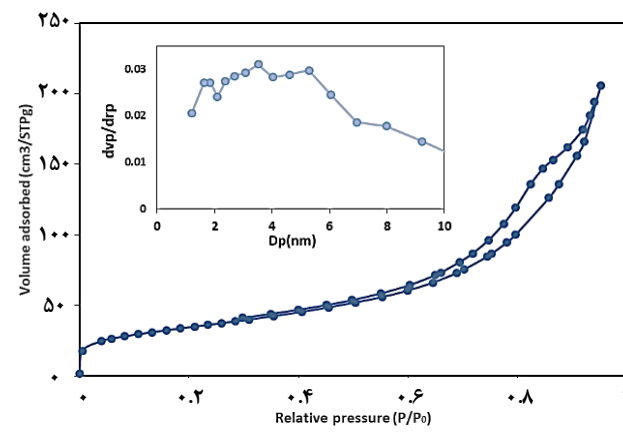
شکل ۶- طیف پراش پرتو ایکس نمونه تیتانیا - سیلیکا (تلقیح)

بارگذاری مناسب آن می‌باشد. ولی همان‌طور که مشخص است کاتالیستی که به روش سل - ژل تهیه شده از فعالیت بالاتری برخوردار است به گونه‌ای که در مدت زمان کمتر به تبدیل تقریباً کامل دی‌بنزوتیوفن (۱۰۰٪) دست یافت. از دلایل آن دلیل آن می‌توان به پراکندگی بالاتر تیتانیا و در عین حال نفوذ مناسب مولکول‌های واکنش دهنده به درون حفره‌های کاتالیست تهیه شده به روش سل - ژل اشاره کرد. زیرا یکی از مزیت‌های استفاده از روش سل - ژل کنترل کردن شرایط در حین سنتر می‌باشد و همانطور که در آنالیز جذب و دفع نیتروژن در جدول ۲ نمایش داده شده است در کاتالیستی که به روش سل - ژل تهیه گشته سطح ویژه کاتالیست بسیار بالاتر از کاتالیست تهیه شده به روش تلقیح تر است و همچنین قطر مناسب حفره‌ها برای نفوذ مولکول‌های دی‌بنزوتیوفن را دارد.

بازیاری و همکاران [۶] کاتالیست‌های تیتانیا - سیلیکا با بارگذاری‌های گوناگون تیتانیا را به روش سل - ژل سنتز و عملکرد گوگردزدایی اکسایشی آنها را در دمای ۸۰°C بررسی کردند. بهترین نتیجه برای کاتالیستی با لودینگ بالای تیتانیا (۵۰ wt%) محقق گردید



شکل ۳- همدماهای جذب و دفع نیتروژن و توزیع اندازه حفره‌های نمونه کاتالیست تیتانیا - سیلیکا سنتز شده با روش سل - ژل (TS10)



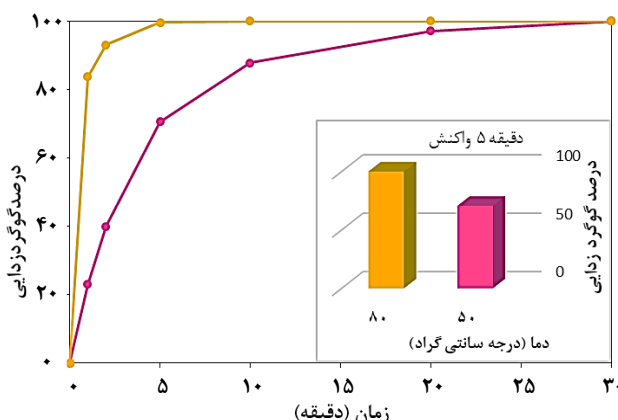
شکل ۴- همدماهای جذب و دفع نیتروژن و توزیع اندازه حفره‌های نمونه کاتالیست تیتانیا - سیلیکا سنتز شده با روش تلقیح تر (TS10-imp)

آنالیز پراش پرتو ایکس

به منظور درک ساختار کاتالیست و نوع فازهای تشکیل شده در کاتالیست‌های تیتانیا سیلیکا، مواد با استفاده از پراش سنجی اشعه ایکس (XRD) تعیین مشخصه شدند (شکل‌های ۵ و ۶). در هر دو نمونه تنها پیک‌های مربوط به فاز سیلیکا مشاهده شد که این نشان‌دهنده پراکندگی بالای تیتانیا در ساختار سیلیکا می‌باشد. همچنین هر دو نمونه از حداقل میزان اکسید تیتانیا به عنوان فاز فعال استفاده شد که عملکرد گوگردزدایی را نیز بهبود بخشید [۶].

نتیجه‌های گوگردزدایی اکسایشی

نتیجه‌های گوگردزدایی اکسایشی دی‌بنزوتیوفن برای کاتالیست‌های تیتانیا - سیلیکا تهیه شده به روش‌های سل - ژل و تلقیح تر در شکل ۷ نشان داده شده است. مشاهده می‌شود که هر دو کاتالیست بسیار کارآمد بوده که این به دلیل سطح ویژه بالای فاز فعال و در عین حال



شکل ۸- تأثیر دما بر عملکرد گوگرددزایی اکسایشی با زمان برای کاتالیست تیتانیا - سیلیکا بهینه تهیه شده به روش سل - ژل (TS10) (شرایط واکنش: اکسنده ترشیری بوتیل هیدروپراکسید، نسبت $O/S=5$ و 50°C)

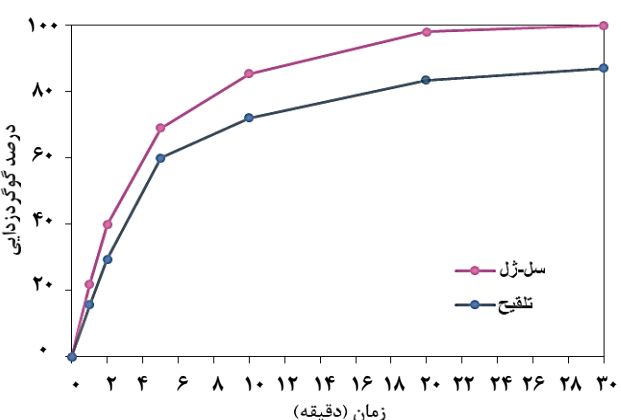
به طور کلی با افزایش دما و افزایش ثابت سرعت واکنش در فرآیند گوگرددزایی، سرعت انجام فرآیند بالا می‌رود و طبق مطالعات انجام شده، با کاهش دما ثابت سرعت واکنش کاهش می‌یابد که سبب کاهش فعالیت کاتالیستی می‌شود [۱۸, ۱۹].

به همین منظور اثر دما در فرآیند گوگرددزایی اکسایشی در کنار کاتالیست TS10 که به عنوان کاتالیست بهینه انتخاب گردید مورد بررسی قرار گرفت. کاتالیست TS10 که در دما 50°C عملکرد بسیار خوبی از خود نشان داده بود در دما 80°C نیز عملکرد فوق العاده‌ای داشت و تنها در یک دقیقه ابتدای واکنش بیش از 80% درصد از دی‌بنزوتیوفن را تبدیل نمود.

تأثیر حضور ترکیبات رقابت کننده در سوخت مدل

در سوخت واقعی مانند بنزین، دیزل و امثال آن انواع مولکول‌های آلی مانند هیدروکربن‌های آلیفاتیک، الفین‌ها، آروماتیک‌ها و ترکیبات نیتروژن دار نیز حضور دارند [۲۰]. وجود ترکیبات نیتروژن دار مانند ایندول و کوئینولین و همچنین ترکیبات اولوفینی مانند سیکلوهگزن، می‌توانند اثر منفی بر فرآیند گوگرددزایی اکسایشی داشته و پیشرفت فرآیند را با محدودیت مواجه نمایند [۲۱]. طبق مطالعات انجام شده، حين فرآیند گوگرددزایی، این ترکیبات و ترکیبات گوگردی برای سایتها فعال کاتالیست با یکدیگر وارد رقابت می‌شوند. علاوه بر آن، محصولات حاصل از اکسایش این ترکیبات روی سطح کاتالیست می‌نشینند و سایتها فعال را غیرفعال می‌کند.

بنابراین به منظور بررسی گزینش‌پذیری کاتالیست بهینه این پژوهش برای اکسایش ترکیبات گوگردی در حضور ترکیبات رقابتی اشاره شده، از ترکیبات نیتروژن دار ایندول و کوئینولین و همچنین

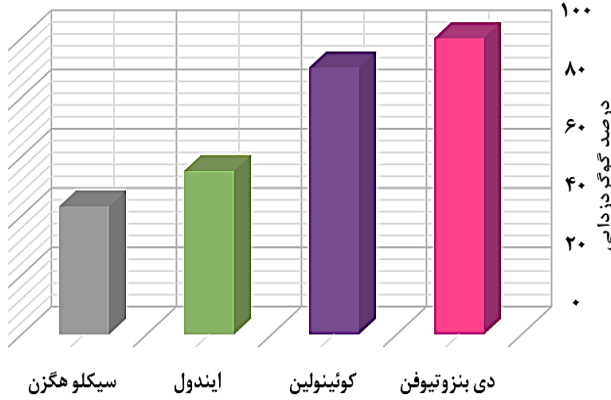


شکل ۷- نتیجه‌های گوگرددزایی اکسایشی با زمان برای کاتالیست‌های سیلیکا، تیتانیا - سیلیکا تهیه شده به دو روش سل - ژل و تلقیح تر (شرایط واکنش: دما 50°C ، اکسنده ترشیری بوتیل هیدروپراکسید، نسبت $O/S=5$ و 50°C گرم کاتالیست)

به گونه‌ای که پس از گذشت ۶۰ دقیقه از آغاز واکنش تبدیل برای دی‌بنزوتیوفن به 100% رسید که نسبت به کاتالیست تهیه شده در پژوهش پیش رو ضعیفتر بوده است. همچنین کای و همکاران [۱۷] کاتالیست سلسه مراتبی HTS-1 را که دارای حفره‌های بزرگتری نسبت به TS-1 است تهیه نمودند و این کاتالیست را در دما 60°C در سامانه واکنشی شامل 0.5 g کاتالیست به همراه اکسنده ترشیری بوتیل هیدروپراکسید ($O/S=3$) و 1000 ppmw دی‌بنزوتیوفن در سوت مدل نرمال اکتان مورد ارزیابی قراردادند. آنها توانستند پس از ۳ ساعت به تبدیل 96% دی‌بنزوتیوفن دست یابند. این در حالی است که در پژوهه‌ی حاضر کاتالیست بهینه با میزان بارگذاری تنها 10% درصد وزنی تیتانیا در شرایط عملیاتی ملایم‌تری (50°C) دی‌بنزوتیوفن را به طور کامل تبدیل نموده است که علت استفاده از این این مقدار تیتانیوم در بخش سنتز کاتالیست آورده شده است. در نتیجه کاتالیست تیتانیا سیلیکا که به روش سل - ژل تهیه شد به دلیل فعالیت بالاتر در حذف دی‌بنزوتیوفن به عنوان کاتالیست بهینه در فرآیند گوگرددزایی در پژوهه‌ی حاضر انتخاب گردید و پارامترهای موثر دیگر در فرآیند گوگرددزایی اکسایشی مانند تأثیر دما و همچنین حضور ترکیبات رقابتی در کنار کاتالیست TS-10 مورد بررسی قرار گرفت.

تأثیر دما بر فرآیند گوگرددزایی اکسایشی

دما از پارامترهای بسیار مهم در فرآیند گوگرددزایی اکسایشی محسوب می‌شود. در همین راستا اثر دما بر عملکرد گوگرددزایی کاتالیست بهینه بررسی و نتیجه‌های آن در شکل ۸ ارائه شده است.



شکل ۹- تأثیر حضور ترکیبات رقابت کننده بر عملکرد کاتالیست تیتانیا-سیلیکا تهیه شده به روش سل-ژل (TS10) (شرايط واکنش: دما 80°C ، اکسید کننده ترشیری بوتیل هیدروپراکسید، نسبت مولی $\text{O/S}=5$ و مقدار 500 ppmw گرم کاتالیست در سوخت مدل حاوی 500 ppmw S و ترکیبات رقابتی)

و ۳ گرم سوخت مدل حاوی 500 ppmw در نرمال دودکان مقایسه گردید. کاتالیست تهیه شده به روش سل - ژل به عنوان نمونه بهینه انتخاب و اثر دما و همچنین گرینش‌پذیری آن برای واکنش گوگرددایی اکسایشی در حضور ترکیبات رقابتی نیتروژن دار و اولفینی مورد بررسی قرار گرفت. کاتالیست بهینه در غیاب ترکیبات رقابتی قادر بود در مدت زمان کوتاه ۳۰ دقیقه پس از شروع واکنش به تبدیل ۱۰۰ درصد دی‌بنزوتیوفن دست یابد. حضور ترکیبات رقابتی نیتروژن دار (ایندول و کوئینولین) و اولفینی (سیکلوهگزن) با افت عملکرد گوگرددایی اکسایشی دی‌بنزوتیوفن همراه بود به گونه‌ای که بیشترین و کمترین تأثیر منفی به ترتیب برای سیکلوهگزن و کوئینولین مشاهده شد.

قدرتانی

این پژوهش با حمایت مالی مرکز مطالعات و همکاری‌های علمی بین‌المللی وزارت علوم، تحقیقات و فناوری انجام شده است. همچنین نویسنده‌گان مقاله تمایل دارند از ستاد توسعه فناوری نانو تشرک نمایند.

تاریخ دریافت: ۱۴۰۰/۰۹/۰۶؛ تاریخ پذیرش: ۱۴۰۰/۰۹/۰۸

ترکیب الفینی سیکلوهگزن در تهیه سوخت مدل استفاده شد. تأثیر حضور این ترکیبات بر عملکرد کاتالیست تیتانیا - سیلیکا تهیه شده به روش سل - ژل در دمای 80°C بررسی گردید و نتیجه‌های آن در شکل ۹ مشاهده می‌شود. سوخت مدل شامل ۵۰۰ ppmw گوگرد به همراه 50 ppmw ایندول یا 50 ppmw کوئینولین می‌باشد. همچنین جهت بررسی اثر سیکلوهگزن، سوخت مدلی حاوی 15% وزنی سیکلوهگزن در حضور 500 ppmw گوگرد تهیه گردید. مقادیر انتخاب شده حداکثر سطح این ترکیبات در مقالات مرجع بوده است

که به شرایط سوختهای واقعی نزدیک است [۲۲].

کمترین تأثیر بر فرایند گوگرددایی برای ترکیب رقابتی کوئینولین مشاهده شد. واکنش پذیری بالای ایندول نسبت به کوئینولین به دلیل چگالی الکترونی بالا روی اتم نیتروژن در ایندول است که در نتیجه درصد گوگرددایی در حضور ایندول کاهش بیشتری را نسبت به کوئینولین نشان می‌دهد [۲۳,۲۴].

اما بیشترین تأثیر منفی بر فرایند گوگرددایی اکسایشی برای سیکلوهگزن مشاهده شد. در مولکول سیکلوهگزن دو جفت الکترون به اشتراک گذاشته وجود دارد که یکی از این جفت الکترون‌ها پیوند π و دیگری پیوند σ را تشکیل داده است. حضور این جفت الکترون π سبب ایجاد خاصیت الکترونگاتیوی در ساختار سیکلوهگزن شده که در نتیجه سبب افزایش الکترونگاتیوی آن می‌شود. نزدیک بودن الکترونگاتیوی در مولکول سیکلوهگزن و دی‌بنزوتیوفن به یکدیگر می‌تواند سبب ایجاد یک واکنش رقابتی شدید بین آنها در واکنش با اکسیده گردد. در نتیجه سیکلوهگزن که میزان آن در سوخت مدل به مراتب بیش از دی‌بنزوتیوفن است (15 درصد در 500 ppmw) در یک واکنش رقابتی با اکسیده ترشیری بوتیل هیدروپراکسید، بخشی از اکسیژن‌های فعال را مصرف نموده و در نتیجه عملکرد گوگرددایی افت می‌نماید. همچنین با توجه به اندازه کوچکتر سیکلوهگزن (حدود $5/\text{نانومتر}$) نسبت به دی‌بنزوتیوفن، نفوذ آن به درون حفره‌های کاتالیست، و اکسایش این ترکیب احتمالاً راحت‌تر صورت می‌پذیرد [۲۵,۲۶].

نتیجه‌گیری

در این پژوهش کاتالیست تیتانیا - سیلیکا با بارگذاری کم تیتانیا (10 wt\%) با دو روش سل - ژل و تلقیح تر سنتز و عملکرد آنها در فرآیند گوگرددایی اکسایشی از سوختهای مدل حاوی ترکیب گوگردی مقاوم دی‌بنزوتیوفن در شرایط عملیاتی ملایم در دمای $80-50^{\circ}\text{C}$ با استفاده از اکسیده ترشیری بوتیل هیدروپراکسید، نسبت مولی $\text{O/S}=5$

مراجع

- [1] Gupta N., Roychoudhury P.K., Deb J.K., **Biotechnology of Desulfurization of Diesel: Prospects and Challenges**, *Appl. Microbiol. Biotechnol.* **66**: 356–366 (2005).
- [2] Song C., Ma X., **New Design Approaches to Ultra-Clean Diesel Fuels by Deep Desulfurization and Deep Dearomatization**, *Appl. Catal. B Environ.* **41**: 207–238 (2003).
- [3] Zhang L., Wang J., Sun Y., Jiang B., Yang H., **Deep Oxidative Desulfurization of Fuels by Superbase-Derived Lewis Acidic Ionic Liquids**, *Chem. Eng. J.* **328**: 445–453 (2017).
- [4] Palomeque J., Clacens J.-M., Figueras F., **Oxidation of Dibenzothiophene by Hydrogen Peroxide Catalyzed by Solid Bases**, *J. Catal.* **211**: 103–108 (2002).
- [5] Subhan S., Rahman A.U., Yaseen M., Rashid H.U., Ishaq M., Sahibzada M., Tong Z., **Ultra-Fast and Highly Efficient Catalytic Oxidative Desulfurization of Dibenzothiophene at Ambient Temperature Over Low Mn Loaded Co-Mo/Al₂O₃ and Ni-Mo/Al₂O₃ Catalysts Using NaClO as Oxidant**, *Fuel* **237**: 793–805 (2019).
- [6] Bazyari A., Khodadadi A.A., Mamaghani A.H., Beheshtian J., Thompson L.T., Mortazavi Y., **Microporous Titania–Silica Nanocomposite Catalyst-Adsorbent for Ultra-Deep Oxidative Desulfurization**, *Appl. Catal. B Environ.* **180**: 65–77 (2016).
- [7] Wei S., He H., Cheng Y., Yang C., Zeng G., Kang L., Qian H., Zhu C., **Preparation, Characterization, and Catalytic Performances of Cobalt Catalysts Supported on KIT-6 Silicas in Oxidative Desulfurization of Dibenzothiophene**, *Fuel* **200**: 11–21 (2017).
- [8] Caero L.C., Hernández E., Pedraza F., Murrieta F., **Oxidative Desulfurization of Synthetic Diesel Using Supported Catalysts: Part I. Study of the Operation Conditions With a Vanadium Oxide Based Catalyst**, *Catal. Today* **107**: 564–569 (2005).
- [9] Moghaddam M.S., Towfighi J., **Synthesis of Vanadium Catalysts Supported on Cerium Containing TiO₂ Nanotubes for the Oxidative Dehydrogenation of Propane** **1**, *58*: 659–665 (2018).
- [10] Wang H., Shi C., Chen S., Chen R., Sun P., Chen T., Accepted, J., **Hierarchically Mesoporous Titanosilicate Single- Crystalline Nanospheres for Room-Temperature Oxidative-Adsorptive Desulfurization**, (2019). doi:10.1021/acsanm.9b01496.
- [11] Rivoira L.P., Valles V.A., Ledesma B.C., V Ponte M., Martínez M.L., Anunziata O.A. Beltramone, A.R., **Sulfur Elimination by Oxidative Desulfurization with Titanium-Modified SBA-16**, *Catal. Today* **271**: 102–113 (2016).
- [12] Hilonga A., Kim J.-K., Sarawade P.B., Kim H.T., **Mesoporous Titania–Silica Composite from Sodium Silicate and Titanium Oxychloride. Part II: One-Pot Co-Condensation Method**, *J. Mater. Sci.* **45**: 1264–1271 (2010).
- [13] Zhang X., Zhang F., Chan K.-Y., **Synthesis of Titania–Silica Mixed Oxide Mesoporous Materials, Characterization and Photocatalytic Properties**, *Appl. Catal. A Gen.* **284**: 193–198 (2005).

- [14] Torres-García E., Galano A., Rodriguez-Gattorno G., Oxidative Desulfurization (ODS) of Organosulfur Compounds Catalyzed by Peroxo-Metallate Complexes of $\text{WO}_x\text{-ZrO}_2$: Thermochemical, Structural, and Reactivity Indexes Analyses, *J. Catal.* **282**: 201–208 (2011).
- [15] Bu J., Loh G., Gwie C.G., Dewiyanti S., Tasrif M., Borgna A., Desulfurization of Diesel Fuels by Selective Adsorption on Activated Carbons: Competitive Adsorption of Polycyclic Aromatic Sulfur Heterocycles and Polycyclic Aromatic Hydrocarbons, *Chem. Eng. J.* **166**: 207–217 (2011).
- [16] Koivikko N., Laitinen T., Mouammine A., Ojala S., Keiski R.L., Catalytic Activity Studies of Vanadia / Silica – Titania Catalysts in SVOC Partial Oxidation to Formaldehyde : Focus on the Catalyst Composition, (2018). doi:10.3390/catal8020056.
- [17] Qiu L., Cheng Y., Yang C., Zeng G., Long Z., Wei S., Zhao K., Luo L., Oxidative Desulfurization of Dibenzothiophene Using a Catalyst of Molybdenum Supported on Modified Medicinal Stone, *Rsc Adv.* **6**: 17036–17045 (2016).
- [18] Zhang X., Zhu Y., Huang P., Zhu M., Phosphotungstic Acid on Zirconia-Modified Silica as Catalyst for Oxidative Desulfurization, *RSC Adv.* **6**: 69357–69364 (2016).
- [19] Kumar S., Srivastava V.C., Badoni R.P., Oxidative Desulfurization of Dibenzothiophene by Zirconia-Based Catalysts, *Int. J. Chem. React. Eng.* **12**: 295–302 (2014).
- [20] Xiao J., Wu L., Wu Y., Liu B., Dai L., Li Z., Xia Q., Xi H., Effect of Gasoline Composition on Oxidative Desulfurization Using a Phosphotungstic Acid/Activated Carbon Catalyst with Hydrogen Peroxide, *Appl. Energy* **113**: 78–85 (2014).
- [21] Liu W., Liu X., Yang Y., Zhang Y., Xu B., Selective Removal of Benzothiophene and Dibenzothiophene from Gasoline Using Double-Template Molecularly Imprinted Polymers on the Surface of Carbon Microspheres, *Fuel* **117**: 184–190 (2014).
- [22] Caero L.C., Jorge F., Navarro A., Gutiérrez-Alejandro A., Oxidative Desulfurization of Synthetic Diesel Using Supported Catalysts: Part II. Effect of Oxidant and Nitrogen-Compounds on Extraction–Oxidation Process, *Catal. Today* **116**: 562–568 (2006).
- [23] Rafiee E., Rahpeyma N., Selective Oxidation of Sulfurs and Oxidation Desulfurization of Model Oil by 12-Tungstophosphoric Acid on Cobalt-Ferrite Nanoparticles as Magnetically Recoverable catalyst, *Chinese J. Catal.* **36**: 1342–1349 (2015).
- [24] Bhadra B.N., Song J.Y., Uddin N., Khan N.A., Kim S., Choi C.H., Jhung S.H., Oxidative Denitrogenation with TiO_2 @ Porous Carbon Catalyst for Purification of Fuel: Chemical Aspects, *Appl. Catal. B Environ.* **240**: 215–224 (2019).
- [25] Sugi Y., Shape-Selective Alkylation of Naphthalene Over Zeolites: Steric Interaction of Reagents With Zeolites, *J. Chinese Chem. Soc.* **57**: 1–13 (2010).
- [26] Khademian F., Bazyari A., Haghghi P., Thompson L.T., Enhanced oxidative desulfurization of dibenzothiophene in the presence of cyclohexene, indole, quinoline, and p-xylene using surface-silylated titania-silica catalyst, *Fuel* **344**: 128022–128036 (2023).